

# 半封闭型海区中风海流的数值计算<sup>\*\*</sup>

何恩典 尤芳湖 沈凌云 许天增

(厦门大学物理系) (中国科学院海洋研究所)

## 一、微分方程及边界条件

本文所计算的对象——胶州湾,是一个半封闭型的海湾。湾口两岸相距仅约三公里,其余均为陆地所包围。以海图基准面为准,深度均小于60米,海湾直径约为15哩。西部和北部为平坦的沙滩,深度较浅;南部与外海相通,深度较大。由于胶州湾海区范围甚小而且深度不大,科氏力可以略去不计,风场可视为均匀的。在风以及由风引起的海流均已稳定后,可得下列的流体动力方程及连续方程:

$$g\rho \frac{\partial \zeta}{\partial x} + A_z \frac{\partial^2 u}{\partial z^2} = 0,$$
$$g\rho \frac{\partial \zeta}{\partial y} + A_z \frac{\partial^2 v}{\partial z^2} = 0; \tag{1}$$

$$\frac{\partial u}{\partial x} + \frac{\partial v}{\partial y} = 0, \tag{2}$$

其中  $u, v$  是水平坐标  $x, y$  方向上的流速分量,  $\zeta$  是海水受到扰动后的海面升高 ( $z = 0$  是未扰动的海平面),  $\rho$  是海水密度,  $A_z$  是垂直动量交换系数, 视为常量。

如果海面上风的应力分量以  $T_x, T_y$  表示, 则在海面, 即当  $z = 0$  时有:

$$A_z \frac{\partial u}{\partial z} = -T_x, \quad A_z \frac{\partial v}{\partial z} = -T_y. \tag{3}$$

在海底流速应等于零, 即当  $z = H(x, y)$ , 有

$$u = v = 0, \tag{4}$$

其中  $H(x, y)$  为水深。

根据边条件(3)、(4), 把(1)积分, 并引入全流分量:

$$S_x = \int_0^H u dz, \quad S_y = \int_0^H v dz;$$

及全流函数  $\Psi$ :

$$\frac{\partial \Psi}{\partial x} = S_y, \quad \frac{\partial \Psi}{\partial y} = -S_x.$$

通过简单的计算, 海面陡度  $\frac{\partial \zeta}{\partial x}, \frac{\partial \zeta}{\partial y}$  和各层流速  $u, v$  与  $\Psi$  的关系可用下式表示:

$$\frac{\partial \zeta}{\partial x} = -\frac{3T_x}{2g\rho H} - \frac{3A_z}{g\rho H^3} \frac{\partial \Psi}{\partial y}, \quad \frac{\partial \zeta}{\partial y} = -\frac{3T_y}{2g\rho H} + \frac{3A_z}{g\rho H^3} \frac{\partial \Psi}{\partial x}; \tag{5}$$

\* 中国科学院海洋研究所调查研究报告第99号。

\*\* 中央气象局的谢炳源、康荷莲同志为本文作了很多计算, 特表谢意。

$$\begin{aligned} u &= \frac{T_x}{4A_z} \left( H - 4z + \frac{3z^2}{H} \right) - \frac{3(H^2 - z^2)}{2H^2} \frac{\partial \Psi}{\partial y}, \\ v &= \frac{T_y}{4A_z} \left( H - 4z + \frac{3z^2}{H} \right) + \frac{3(H^2 - z^2)}{2H^2} \frac{\partial \Psi}{\partial x}. \end{aligned} \quad (6)$$

从式(5)消去  $\zeta$ , 即得  $\Psi$  应满足的微分方程:

$$\frac{\partial}{\partial x} \left( \frac{1}{H^3} \frac{\partial \Psi}{\partial x} \right) + \frac{\partial}{\partial y} \left( \frac{1}{H^3} \frac{\partial \Psi}{\partial y} \right) - \frac{1}{2A_z} \left[ \frac{\partial}{\partial x} \left( \frac{T_y}{H} \right) - \frac{\partial}{\partial y} \left( \frac{T_x}{H} \right) \right] = 0. \quad (7)$$

这是卜阿桑方程, 在已知的边条件下可进行近似积分。在岸边,  $H = 0$ , 有

$$\Psi|_{\text{岸}} = 0; \quad (8)$$

在湾口,

$$\frac{\partial \Psi}{\partial x} = S_y = \int_0^H v dz, \quad \frac{\partial \Psi}{\partial y} = -S_x = -\int_0^H u dz, \quad (9)$$

其中  $v$ 、 $u$  可由实测得到。这样, 对于一个半封闭型的海区, 方程(7)就有第一类和第二类的混合边条件。当求出全流函数  $\Psi$  之后, 根据方程组(5)、(6)就可求得湾内各点的海面陡度和各层的流速分量。

上述方程(7)是由费森堡姆 (A. И. Фельзенбаум 1956)<sup>[1]</sup> 导出的, 他在另外两篇文章里分别考虑了  $A_z$  不是常量<sup>[2]</sup> 和科氏力作用下的情形<sup>[3]</sup>, 都得到了与方程(7)类似的结果, 但整个形式较为复杂。

## 二、计算方法与步骤

方程(7)附上了第一或第二边条件, 仅在几种很特殊的边界(如圆或长方形)下, 才能够求得准确的解, 一般则可进行数值计算求它的近似解。我们这里应用有限差分解法, 即网格法。在计算时把所考虑的海区划成网格, 在网格的结点上求与原微分方程相近似的差分方程, 然后求满足差分方程的近似解。

### 1. 计算的网格

考虑到胶州湾的边界形状, 我们把它分成了等边的三角形网格(看图1)。三角形边长的选取有二种, 在海湾南部深度变化较大, 而且岸形较复杂, 边长取  $a = 1.29 \times 10^5$  厘米, 其余部分边长为  $2a = 2.58 \times 10^5$  厘米。这样, 计算用的网格与实际的边界就十分相近。网格的结点就是我们所要计算的点。它们的站名分别以二相交的格线命名, 如  $Aa$ 、 $Ab$ 、 $\dots$ ;  $Ba$ 、 $Bb$ 、 $\dots$ 。

### 2. 差分方程

将方程(7)改写为

$$\frac{\partial}{\partial x} \left( P \frac{\partial \Psi}{\partial x} \right) + \frac{\partial}{\partial y} \left( P \frac{\partial \Psi}{\partial y} \right) + Q = 0 \quad (10)$$

的形式, 其中

$$P = \frac{1}{H^3}, \quad Q = -\frac{1}{2A_z} \left[ \frac{\partial}{\partial x} \left( \frac{T_y}{H} \right) - \frac{\partial}{\partial y} \left( \frac{T_x}{H} \right) \right]. \quad (11)$$

它们为已知函数。与方程(10)对应的差分方程<sup>[4]</sup>是:

$$\sum_i \frac{P_0 + P_i}{2} \frac{1}{x_i} \Psi_i - \Psi_0 \sum_i \frac{P_0 + P_i}{2} \cdot \frac{1}{x_i} + \frac{1}{4} a^2 Q \sum_i x_i = 0, \quad (12)$$

其中  $P_0$ 、 $P_i$ 、 $\Psi_0$ 、 $\Psi_i$  分别为计算点 (0 点) 与其周围第  $i$  点 (对于我们所取的网格,  $i = 1, 2, \dots, 6$ ) 的  $P$  值和  $\Psi$  值,  $x_i$  为第  $i$  点与 0 点的距离,  $a$  为三角形网格的边长。

为了计算方便, 可以将一些与长度有关的变量化为无量纲的变量, 而把方程 (7) 变为相应的无量纲的方程。

为此, 作变换:

$$x = ax', \quad y = ay', \quad H = aH'$$

则

$$\Psi = a^3\Psi'$$

这组无量纲的新变量仍满足方程 (7)。

当方程化为无量纲后, 上面提到的计算图案里, 在湾口小三角形网格每边长  $x_i = a = 1.29 \times 10^5$  厘米, 所以  $x'_i = 1$ 。对于大的网格,  $x_i = 2a$ ,  $x'_i = 2$ 。为了简便, 下面所用的符号都不作改变而仍记为  $x$ 、 $y$ 、 $\Psi \dots$ 。

### 3. 关于 $P$ 、 $Q$

为了避免边界点上深度的倒数  $\left(\frac{1}{H}\right)$  为无穷大, 我们取边界点的深度为 1 米 (但这里的  $\Psi$  仍等于 0)。

各计算点的深度是根据海图选取的。为了不使深度有个别特殊变化的点出现, 我们选取各计算点的深度, 系取其周围深度的平均值。

各计算点的  $\frac{1}{H}$  和  $\frac{1}{H^3}$  (无量纲的) 可列出表来, 以便计算。根据青岛海洋气象台多年的统计, 胶州湾及其附近冬季经常吹北风。为此, 我们在计算胶州湾冬季的风海流中, 选取了在稳定均匀的正北风场作用下所产生的风海流。

根据我们选取的坐标系, 在正北风场作用下,

$$T_y = T \cos \theta = T \cos 180^\circ = -T, \quad T_x = T \sin \theta = 0。$$

代入 (11) 式得:

$$Q = \frac{T}{2A_z} \frac{\partial}{\partial x} \left( \frac{1}{H} \right) \quad (13)$$

根据罗士比 (Rossby 1936) 的公式, 风应力与风速有如下的关系:

$$T = k\rho_a W^2,$$

其中  $k = 0.0025$ ,  $\rho_a$  为空气密度,  $W$  为风速。如  $W$  的单位取米/秒, 则

$$T = 3.2 \times 10^{-2} W^2, \quad Q = \frac{1.6 \times 10^{-2} W^2}{A_z} \frac{\partial}{\partial x} \left( \frac{1}{H} \right)。$$

为了计算方便起见, 我们暂假定  $\frac{W}{A_z} = 1$ ,  $W = 1$  米/秒。于是 (13) 式又可写成:

$$Q = 1.6 \times 10^{-2} \frac{\partial}{\partial x} \left( \frac{1}{H} \right) \quad (13')$$

各计算点的  $Q$  值可列出表来。

从方程 (6) 及 (7) 可以看出, 风海流的流速和风速成正比, 也与比值  $\frac{W}{A_z}$  成正比。当算得比值  $\frac{W}{A_z} = 1$  和  $W = 1$  米/秒的风场作用下产生的风海流后, 只要将算得流速乘  $W$

(米/秒), 与实测资料比较, 确定  $\frac{W}{A_z}$  的比值, 再与此比值相乘, 即在风速  $W$  的作用下所产生的风海流流场。

#### 4. 边条件

在湾内岸边取  $\Psi=0$ , 在薛家岛与团岛之间的湾口断面上  $\Psi$  即不为零, 这时从湾口测站的海流昼夜连续观测记录中, 算出各层余流, 并据此按公式(9)算得边界上的  $\frac{\partial \Psi}{\partial x}$ 。此即为湾口的第二类边条件。

根据湾口昼夜连续测流资料及青岛海洋气象台多年的测风资料(我们认为在不大的胶州湾内, 青岛海洋气象台的测风记录是能够代表胶州湾内的风场的), 得出胶州湾在冬季基本上是在平均风速为 5—6 米/秒的北风控制之下。参考了进行海流昼夜连续观测时的风速, 我们选取风矢北分量平均值 6.4 米/秒, 作为胶州湾海区冬季北风场的强度, 并由此计算风海流。

#### 5. 松弛图案

方程(12)的近似解法有很多种, 最好的方法当然是利用电子计算机在一定的程序下求解。如果用手算(包括利用电动计算机), 松弛法看来是一种较为简便的方法。

上面已提到, 边界上的  $\Psi$  值(或  $\frac{\partial \Psi}{\partial x}$ ) 为已知。我们给各结点以  $\Psi$  的初值, 这些初值可以任意假定, 这里我们都取它为零。当然, 如能根据边界值的变化规律给以较好的初值, 是可以减小计算的反复次数的。可以想到, 一般所给的假定值不会满足方程(12), 也就是说, 将某一点和它周围六点的初值代入(12)式, 算出的数值并不等于零, 这数值叫做剩余  $R$ 。松弛的目的, 在于使各结点的  $R$  值趋近于零, 为此必须改变假定的  $\Psi$  值。根据方程(12)经过多次反复的“松弛”后, 就可使各结点剩余值变为最小。把逐次改变的  $\Psi$  值相加, 即可得出各结点上真正的  $\Psi$  值。

由于网格不同, 松弛的图案及计算剩余的公式也不同, 下面列出在我们计算中所遇到的几种形式。

a. 网格边长  $X_{i=1}^i = 2$  的正规图案, 如图 2 所示。计算剩余的公式为:

$$R = \sum_{i=1}^6 \frac{1}{4} (P_i + P_0) \Psi_i - \Psi_0 \sum_{i=1}^6 \frac{1}{4} (P_i + P_0) + 3Q_0. \quad (14)$$

采用这图案及公式的计算点如站  $Q_i$ 、 $P_f$ ……。可以看出, 计算点 0 的  $\Psi$  值增加 1 时, 该点剩余减小  $\sum_{i=1}^6 \frac{1}{4} (P_i + P_0)$ , 它周围第  $i$  点增加了  $\frac{1}{4} (P_0 + P_i)$ 。

b. 网格边长  $x_{i=1}^i = 1$  的正规图案, 如图 3 所示。计算剩余的公式为:

$$R = \sum_{i=1}^6 \frac{1}{2} (P_i + P_0) \Psi_i - \Psi_0 \sum_{i=1}^6 \frac{1}{2} (P_i + P_0) + \frac{3}{2} Q_0. \quad (15)$$

采用这图案及公式的计算点如站  $G_d$ 、 $F_f$ ……。

c. 如站  $R_m$ , 网格边长  $x_{i=1}^i = 2$ , 而  $x_0 = 1$ , 松弛图案如图 4 所示。计算剩余的公式为:

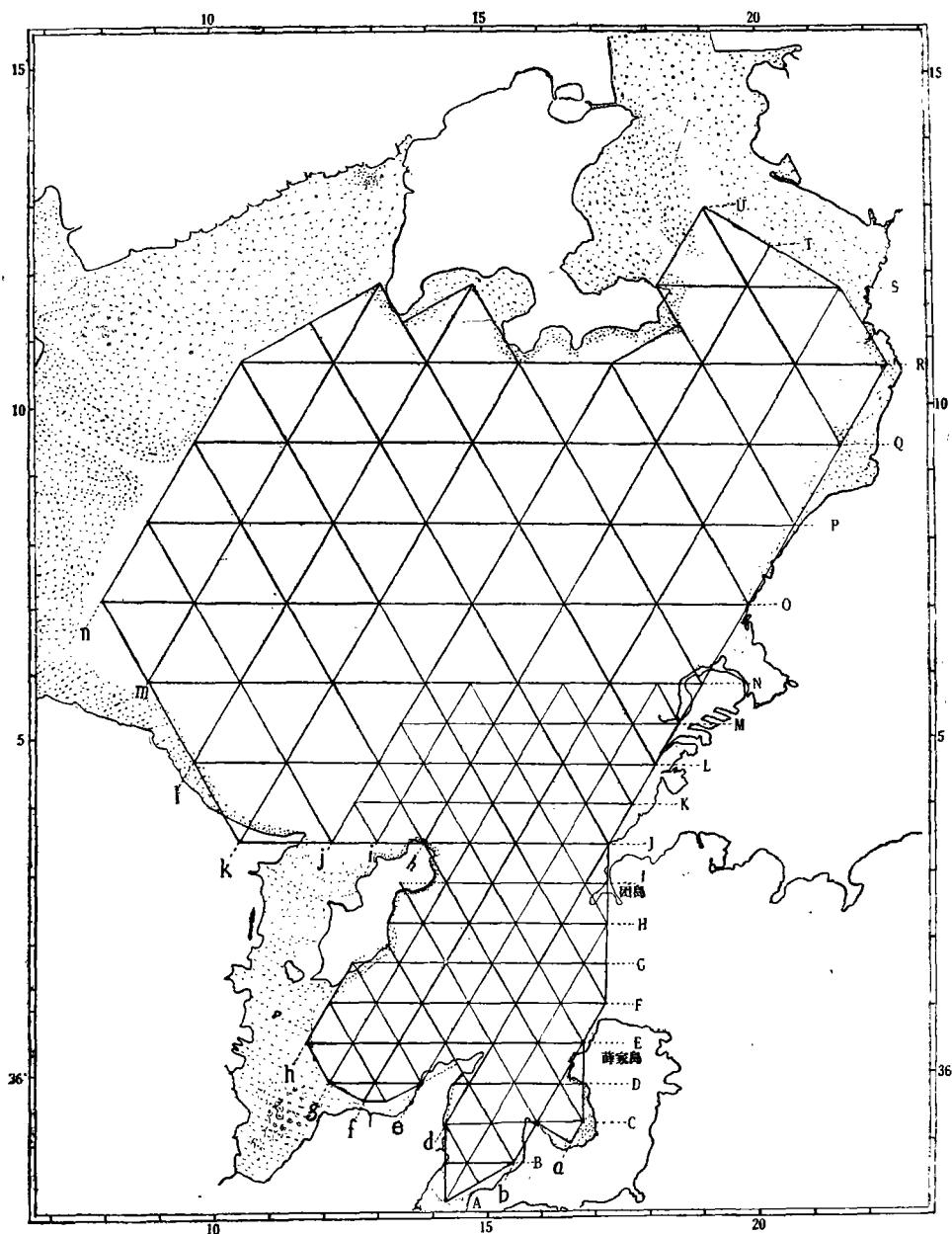


图1 数值计算用的网格

Рис. 1. Схема расчетных сеток численным методом.

$$R = \sum_{i=1}^5 \frac{1}{4} (P_i + P_0) \Psi_i + \frac{P_0 + P_6}{2} \Psi_6 - \Psi_0 \left[ \sum_{i=1}^5 \frac{1}{4} (P_i + P_0) + \frac{1}{2} (P_6 + P_0) \right] + \frac{11}{4} Q_0. \quad (16)$$

采用这种松弛图案及公式的计算点还有 Sh 等。

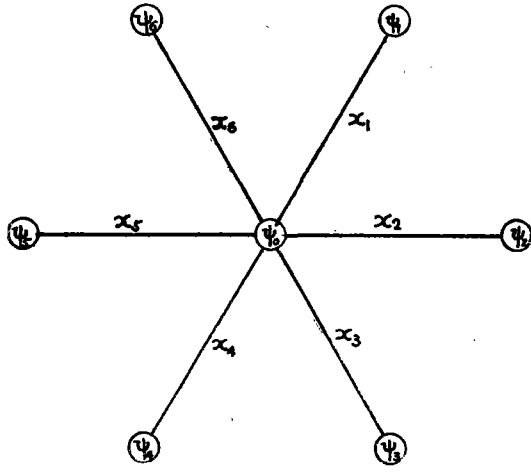


图2 正规松弛图案  
( $x_{i=1}^0=2$ )

Рис. 2. Схема "ослабления" с равными шагами.

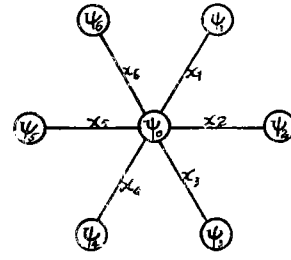


图3 正规松弛图案  
( $x_{i=1}^0=1$ )

Рис. 3. Схема "ослабления" с равными шагами.

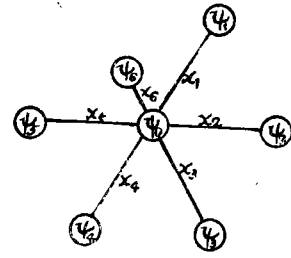


图5 不正规松弛图案  
( $x_{i=1}^0=1, x_6=1/2$ )

Рис. 5. Схема "ослабления" с неравными шагами.

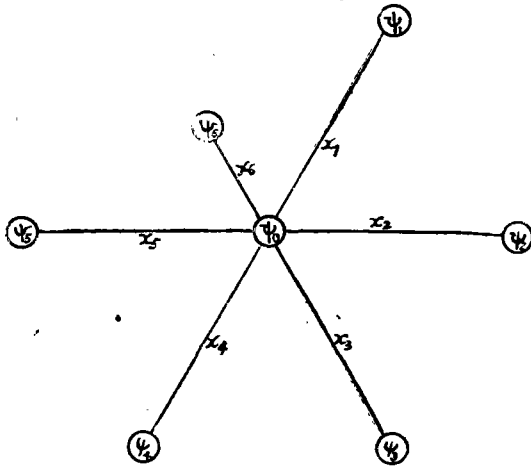


图4 不正规松弛图案  
( $x_{i=1}^0=2, x_6=1$ )

Рис. 4. Схема "ослабления" с неравными шагами.

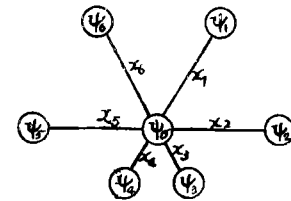


图6 不正规松弛图案  
( $x_1=x_2=x_5=x_6=1, x_3=x_4=1/2$ )

Рис. 6. Схема "ослабления" с неравными шагами.

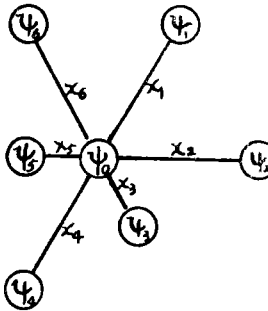


图7 不正规松弛图案  
( $x_1=x_2=x_4=x_6=1, x_3=x_5=1/2$ )

Рис. 7. Схема "ослабления" с неравными шагами.

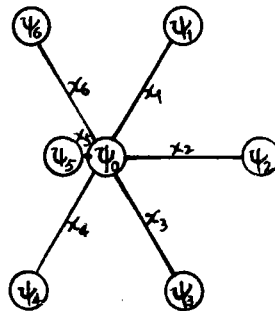


图8 不正规松弛图案  
( $x_{i=1}^0=x_6=1, x_5=1/3$ )

Рис. 8. Схема "ослабления" с неравными шагами.

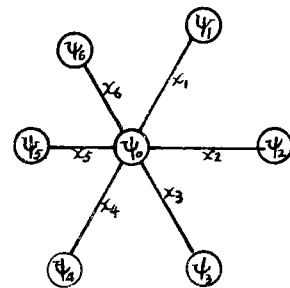


图9 不正规松弛图案  
( $x_{i=1}^0=1, x_5=x_6=3/4$ )

Рис. 9. Схема "ослабления" с неравными шагами.

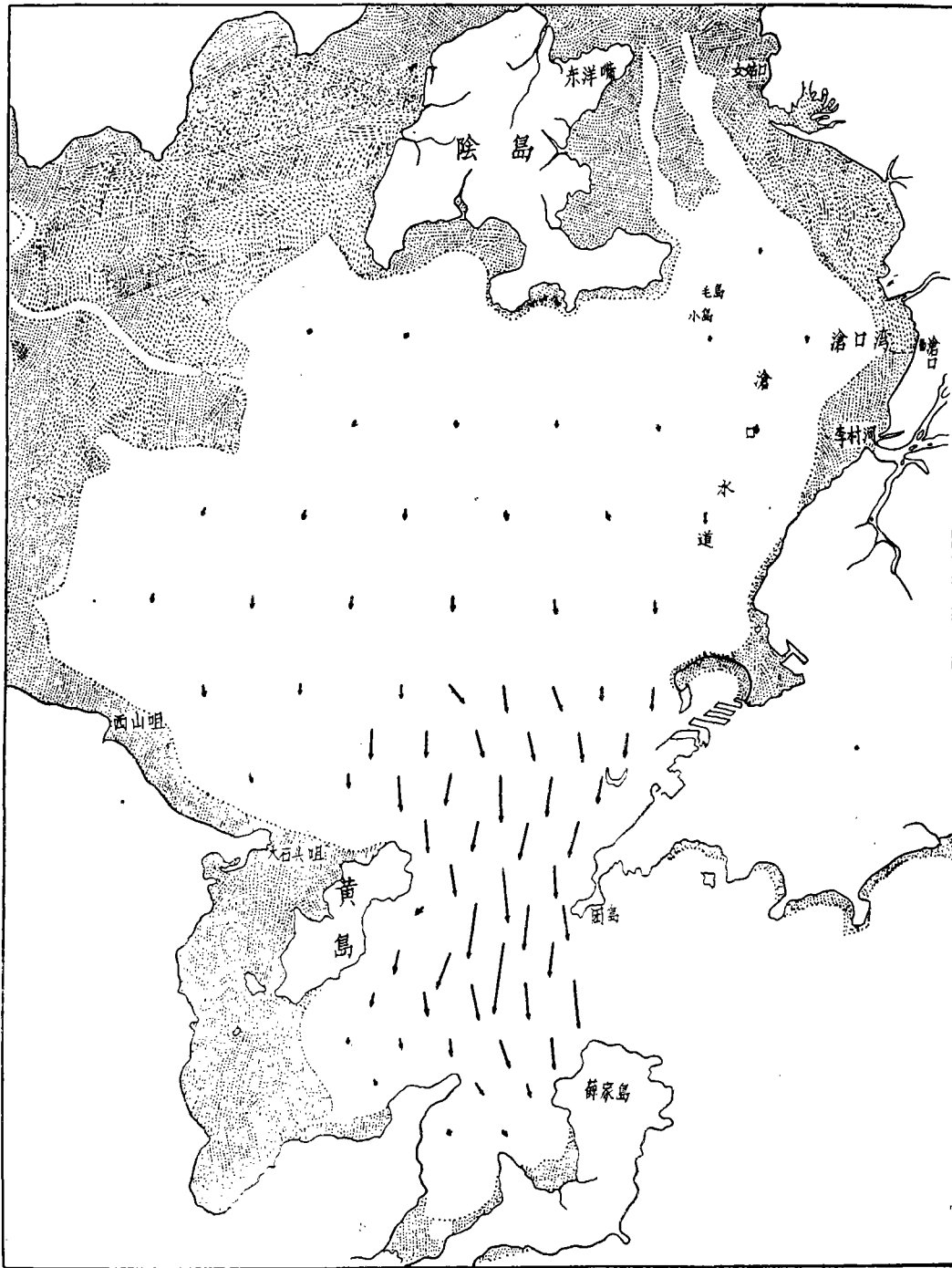


图10 表层风海流矢量图  
Рис. 10. Вектор поверхностного ветрового течения.

d. 网格边长如站 Gg,  $x_{i=1}^3 = 1$ , 而  $x_6 = \frac{1}{2}$ , 则松弛图案如图 5 所示。计算剩余的公式为:

$$R = \sum_{i=1}^3 \frac{P_i + P_0}{2} \psi_i + (P_6 + P_0) \psi_6 - \psi_0 \left[ \sum_{i=1}^3 \frac{P_i + P_0}{2} + (P_6 + P_0) \right] + \frac{11}{8} Q_{00}. \quad (17)$$

采用类似这种图案及公式的计算点还有 Id、Gc、Ee、Db 等。

e. 网格边长如站 Df,  $x_1 = x_2 = x_5 = x_6 = 1$ ,  $x_3 = x_4 = \frac{1}{2}$ , 如图 6 所示。计算剩余的公式是:

$$R = \sum_{i=1,2,5,6} \frac{P_i + P_0}{2} \psi_i + \sum_{i=3,4} (P_i + P_0) \psi_i - \psi_0 \left[ \sum_{i=1,2,5,6} \frac{P_i + P_0}{2} + \sum_{i=3,4} (P_i + P_0) \right] + \frac{5}{4} Q_{00}. \quad (18)$$

f. 网格边长如站 Bc,  $x_1 = x_2 = x_4 = x_6 = 1$ ,  $x_3 = x_5 = \frac{1}{2}$  的图案, 如图 7 所示。计算剩余的公式是:

$$R = \sum_{i=1,2,4,6} \frac{P_i + P_0}{2} \psi_i + \sum_{i=3,5} (P_i + P_0) \psi_i - \psi_0 \left[ \sum_{i=1,2,4,6} \frac{P_i + P_0}{2} + \sum_{i=3,5} (P_i + P_0) \right] + \frac{5}{4} Q_{00}. \quad (19)$$

g. 网格边长如站 Ig,  $x_{i=1}^4 = x_6 = 1$ ,  $x_5 = \frac{1}{3}$  的图案, 如图 8 所示。计算剩余的公式为:

$$R = \sum_{i=1,2,3,4,6} \frac{P_i + P_0}{2} \psi_i + \frac{3(P_5 + P_0)}{2} - \psi_0 \left[ \sum_{i=1,2,3,4,6} \frac{P_i + P_0}{2} + \frac{3(P_5 + P_0)}{2} \right] + \frac{4}{3} Q_{00}. \quad (20)$$

h. 网格边长如站 Hg,  $x_{i=1}^4 = 1$ ,  $x_5 = x_6 = \frac{3}{4}$ , 如图 9 所示, 计算剩余的公式如下:

$$R = \sum_{i=1}^4 \frac{P_i + P_0}{2} \psi_i + \sum_{i=5}^6 \frac{2(P_i + P_0)}{3} - \psi_0 \left[ \sum_{i=1}^4 \frac{P_i + P_0}{2} + \sum_{i=5}^6 \frac{2(P_i + P_0)}{3} \right] + \frac{11}{8} Q_{00}. \quad (21)$$

我們利用上述的松弛图案计算出各结点的  $\psi$  值, 大部分的计算工作是用电动计算机进行的, 计算时步步核对, 直到网格内各结点的剩余最小为止。这里必须注意, 由此算得的  $\psi$  (即  $\psi'$ ) 仍是无量纲的, 还应乘上  $a^3$  才是所要求的  $\psi$ 。同样,  $x = ax'$ ,  $y = ay'$ 。

### 三、计算结果的讨论

在  $\psi$  值已求得的情况下, 根据式(6)算得表层(0米层)、5米层的  $u$ 、 $v$ , 用矢量合成法求得各结点风海流的流矢量, 绘成矢量图(看图 10)。从图上可以得出在均匀、稳定的正

北风場作用下所产生的表层风海流,基本上与风向一致;而至湾口則有偏东向湾外流的趋向。近岸各站因受岸形影响,流向基本上与岸向一致。

在图中还可以明显地看到,海湾的北部及西部表层流的流速較南部湾口附近的流速为小。这是由于北部及西部的深度都很浅,受海底摩擦影响显著的緣故。在南部及湾口表层流速較大,除了因深度較大外,海面縮窄亦是主要原因。同时,还可看到,表层沒有出現水平环流系統。

从其余各层的海流矢量图中还可以看出:不論 5 米层或 10 米层,凡是接近海底,則流向就有与风向相反的趋势。这是由于在正北风場的作用下,胶州湾南部有明显的增水,而北部則显著減水,因而产生了流速不大的垂直环流,并作为北部的补偿流。

計算結果表明,风速 1 米/秒时,表层最大流速可以达到 37 厘米/秒。因此,当胶州湾在 3 級风的作用下,个别点的风海流的流速可达 3 节左右,这与实测的数值相比是大了,主要的原因是由于我們所用  $\frac{T}{A_z}$  的数值偏高的緣故。在与实测数值比較中,就可选取适当的  $\frac{T}{A_z}$  的平均值, (其实,  $\frac{T}{A_z}$  远小于 1), 算出在正北风場作用下,胶州湾內所形成的风海流流場。在 5 級的正北风作用下,个别点的最大流速可达 1 节左右。总的看来,計算所得的結果基本上和我們昼夜連續站所得到的結果是一致的。

此外,在流速的垂直分布上,还可看出各站的流速度值均自表面向底部遞減,这亦是由于海底摩擦所引起的現象。

最后,我們认为象胶州湾这样一个半封閉型的海区中,应用上述数值計算的方法,进行风海流的預报是值得采取的。

### 参 考 文 献

- [ 1 ] Фельзенбаум, А. И.: 1956. Связь Ветра с Уровнем и Установившимися Течениями Мелкого моря, *ДАН СССР*, **109** (1): 80—83.
- [ 2 ] Фельзенбаум, А. И.: 1957. Обобщение Теории Установившихся Течений Мелкого Моря на Случай Переменного Коэффициента Вертикального Обмена. *ДАН СССР*, **119** (1): 86—89.
- [ 3 ] Фельзенбаум, А. И.: 1956. Обобщение Теория Экмана на Случай Неравномерного Ветра и Произвольного Рельефа Дна Замкнутого Моря, *ДАН СССР*, **109**, (2): 299—302.
- [ 4 ] Southwell, R. V.: 1946. Relaxation Methods in Theoretical Physics. p. 144—150, 67—69.

## ВЫЧИСЛЕНИЕ ВЕТРОВОГО ТЕЧЕНИЯ ЧИСЛЕННЫМ МЕТОДОМ В ПОЛУЗАМКНУТОМ МОРЕ

(Резюме)

Хэ Эн-диан Ю Фан-ху Сын Лейн-ин Си Тиен-чжэн  
(Амойский университет) (Институт Океанологии АН КНР)

На основании приведения численным методом, приведено и рассмотрено устойчивое установившееся течение под действия свойственного равновесного и устойчивого поля ветра в заливе Цзяочжоу.

Мы применяли уравнение А. И. Фельзембаума, которое получено по уравнению динамики морских течений, несколько сократив и интегрируя, потом вводя в функцию полных потоков. Данная функция удовлетворяла уравнению Пуассона.

Приближенное решение получилось путем превращения уравнения Пуассона в соответствующее уравнение конечной разности, причем принятия треугольной сетки и методы "ослабления". На основании полученной функции полных потоков, получено поле ветрового течения в данном районе.

Результат вычисления доказан, что под действия северного поля ветра в 5/баллов над морем, направление поверхностного ветрового течения залива Цзяочжоу в основном совпадает с направлением ветра. Максимальная скорость течения достигается около 1 уз., у придонного слоя направление течения противоположно направлению течения поверхностного течения, причем скорость течения уменьшается.